

水理学を対象とした境界要素法の適用について(その2)

京都大学工学部 正員 岩佐 義朗
京都大学大学院 学生員 山野 一弥

京都大学工学部 正員 田代 彰秀
京都大学大学院 学生員・泊 宏

1.はじめに ; 非定常な水理現象に対し境界要素法を用いて数値解析する研究は、いくつか試みられているものの、差分法や有限要素法を用いた研究と比較すればその数は少ない。本報では、水平に置かれた円管(半径R)内での圧力こう配が正弦的に変化する一方向流れ(以下、“振動流”と称す)を対象として、積分方程式を誘導、離散化し数値解析を実施するとともに、得られた計算結果と理論解との比較・検討を行なうことによって、境界要素法を用いた数値解析法の有効性・妥当性について考察したものである。

2.基礎方程式および定式化；振動流の基礎方程式は

$$\frac{\partial U}{\partial T} - L \left(\frac{\partial^2 U}{\partial Y^2} + \frac{\partial^2 U}{\partial Z^2} \right) = -\frac{1}{\rho} \frac{\partial P}{\partial X} = d_0 \sin \omega T \quad (1)$$

で与えられる。次に、無次元量 $y = Y/R$, $z = Z/R$, $t = T/R^2$ およ
び $U = U/\omega R^2$ を(1)式に導入して無次元化を行なえば次式のよう
になる。

$$\text{支配方程式;} \frac{\partial U}{\partial t} - \left(\frac{\partial^2 U}{\partial y^2} + \frac{\partial^2 U}{\partial z^2} \right) = \sin At \quad (A = \frac{\omega R^2}{L}) \quad (2)$$

$$\text{境界条件;} \quad t = \sqrt{y^2 + z^2} = 1 \quad \text{で} \quad U(y, z, t) = 0 \quad (3)$$

$$\text{初期条件;} \quad U(y, z, 0) = f(y, z) \quad (4)$$

ここで、(2)式に対応する基本解を $G(y, z, t; \eta, \zeta)$ とすれば、基
本解は、 $\frac{\partial G}{\partial t} - \left(\frac{\partial^2 G}{\partial y^2} + \frac{\partial^2 G}{\partial z^2} \right) = \delta(y, z, t; \eta, \zeta)$ [ただし、 δ ; Dirac
のデルタ関数] を満足し、

$$G(y, z, t; \eta, \zeta) = \frac{1}{4\pi(t-\zeta)} \exp \left\{ -\frac{(y-\eta)^2 + (z-\zeta)^2}{4(t-\zeta)} \right\} \quad (5)$$

で与えられる。Banerjee に従って時間積分を行ない整理すると、

$$c_i^n u_i^n = \int_{\Omega} \int_{t-\Delta t}^t G \theta d\tau d\zeta - \int_{\Omega} \int_{t-\Delta t}^t u_i^{n-1} \frac{\partial G}{\partial n} d\tau d\zeta + \int_{\Omega} \int_{t-\Delta t}^t G \sin At d\tau d\zeta \quad (6)$$

さらに、微小時間 Δt の間では関数値 u_i^n および θ_i^n の値が一定であると仮定すれば、

$$c_i^n u_i^n = \int_{\Omega} \int_{t-\Delta t}^t G \theta d\tau d\zeta + \int_{\Omega} \left\{ \frac{g_i^{n-1} + g_i^n}{2} \int_{t-\Delta t}^t G d\zeta \right\} d\tau - \int_{\Omega} \int_{t-\Delta t}^t u_i^{n-1} \frac{\partial G}{\partial n} d\tau d\zeta - \int_{\Omega} \left\{ \frac{u_i^{n-1} + u_i^n}{2} \int_{t-\Delta t}^t \frac{\partial G}{\partial n} d\zeta \right\} d\tau \quad (7)$$

となる。ただし、 u_i^n, g_i^n ; 時刻 $t=n\Delta t$ における点 i における各の値(未知), u_i^{n-1}, g_i^{n-1} ; 時刻 $t=(n-1)\Delta t$ における点 i における各の値(既知), $c_i^n = 1 - \frac{\theta_i^n}{2\pi}$ である。境界および領域積分につ
いては、岩佐・山野らと同様な方法を採用した。その結果、各時間ステップにおいて、境
界上のM個の節点での各を未知数とするM元一次連立方程式が得られ、これを解くことによ
って境界上の未知量が求まる。領域内部の任意の点 i での流速値は、(7)式 $i=1$ とし、上
で得られた値を用いて計算できる。この過程を、図-1のフローチャートに従ってくり返し行
なえばよい。

3.計算結果および考察 ; 表-1に示すような3ケースについて計算を行なう。CASE 2は振

Yoshiaki IWASA; Akihide TADA; Kazuya YAMANO; Hiroshi TOMARI

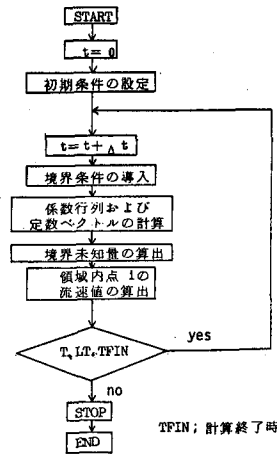


図-1 非定常解析のフローチャート

動がきわめて遅い場合である。なお、ここで用いる理論解は、(2)式を直接解くことにより次式で与えられる。

$$u(y, z, t) = u(r, t) = \frac{e^{iAt}}{\lambda} \left\{ \frac{J_0(\alpha r)}{J_0(\alpha)} - 1 \right\} \quad (8)$$

ただし、 $r = \sqrt{y^2 + z^2}$, $\alpha = \sqrt{\lambda}/c$ (無次元化周期), J_0 ; 0次の Bessel 関数である。CASE 1

において、理論解と計算値の間で振幅と位相に若干のずれが見られる。(図-3 参照)。これは、初期条件の相違および図-6 に示すような圧力こう配の

差に起因するものと考えられる。そこで、より理論解の現象に近いと思われる CASE 3 について計算を行なう。たがい、振幅および位相のずれは縮まらなかった。一方、CASE 2 においては位相のずれはほとんど見られない(図-4 参照)。これは時間的変化が小さく、初期条件もほぼ一致しているためと思われる。

表-2 は、CASE 2 で Δt を 5 通りに変化させて計算した結果のうち、 $t=50$ での管中央の u の値を示したものである。この表より、 Δt が小さいほど解の精度がよくなるとは言えない。差分法では、C.F.L. 条件等の研究がなされており、 Δt に関するなんらかの情報を提供してくれるが、境界要素法では、そのような研究もなく、 Δt の最適値を求めるることはたいへん困難である。

また図-3 および図-4 の計算開始数ステップにおいて精度の悪化が見られる。これは、計算開始直後で基本解の変化が急激なために生じるものと考えられる。さらに、未知量の減少から期待される計算時間の短縮は見

られなかった。その原因としては、①係数行列が full Matrix であること ②数値積分を各ステップごとにくり返して行なわなければならないことが考えられる。

4. おわりに；境界要素法は、基本的に線形の場で基本解を有する微分方程式のみにしか適用できない解法であり、現段階では、水理学のごく一部の現象にのみ有効な数値解析法であるといえよう。

《参考文献》 1) 松梨, 中後, 吉川; 境界要素法の拡散解析への適用, 土木学会関西支部年次講演会概要集 II-66-1~66-2, 1983 2) 松梨, 中後, 吉川; 境界要素法の非定常拡散問題への適用, 土木学会年次講演会概要集, P349~350, 1983 3) P. K. Banerjee, R. Butterfield; Boundary Element Methods in Engineering Science, McGraw-Hill, 1981 4) 岩佐, 寺田, 山野; 水理学を対象とした境界要素法の適用について, 土木学会関西支部年次講演会概要集, II-65-1~65-2, 1983

表-1 計算 CASE

	角振動数	無次元化周期	初期条件
CASE 1	π	2	静止
CASE 2	$\pi \times 10^{-2}$	200	静止
CASE 3	π	2	CASE 1 の $t=20$ の値

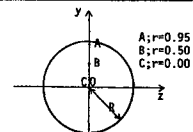


図-2 内管の断面図

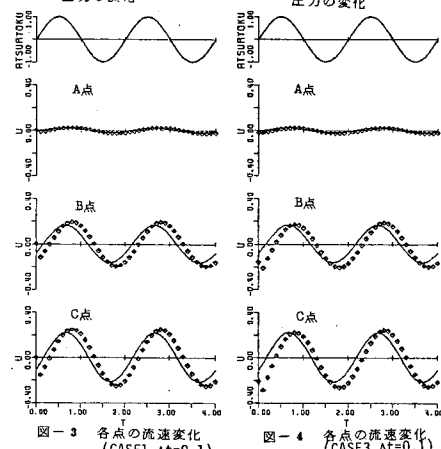


図-3 各点の流速変化 (CASE1, dt=0.1)

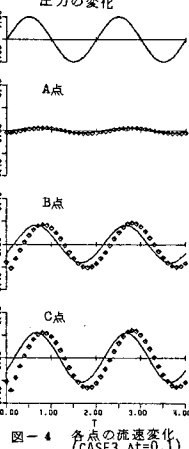


図-4 各点の流速変化 (CASE3, dt=0.1)

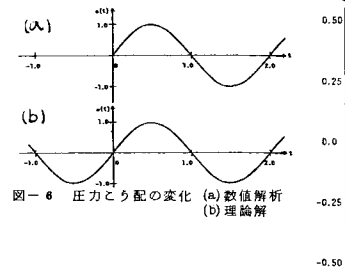


図-6 圧力こう配の変化 (a) 数値解析 (b) 理論解

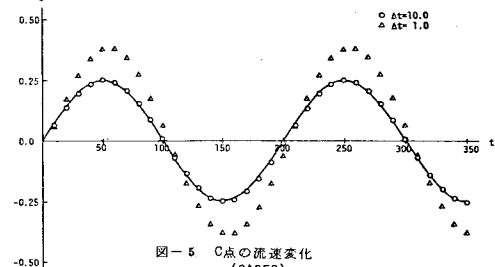


図-5 C点の流速変化 (CASE2)

表-2 Δt と C 点での流速値 (CASE2)

Δt	C 点での流速値 ($t=50$)
1.0	0.379265
2.5	0.284859
5.0	0.260479
10.0	0.251009
20.0	0.298912